

Lineární algebra 2

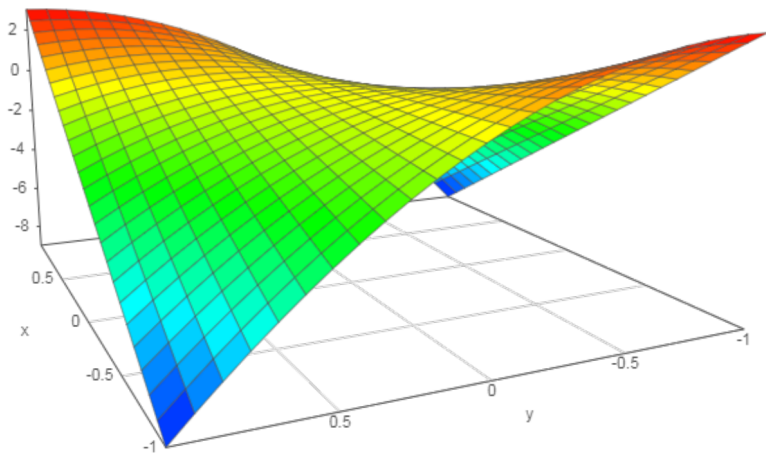
Martin Balko

13. přednáška

9. května 2022



Bilineární a kvadratické formy



Zdroj: <https://kam.mff.cuni.cz/~fiala>

Příklady bilineárních forem

Příklady bilineárních forem

- Každý **reálný skalární součin** na prostoru V je bilineární formou.

Příklady bilineárních forem

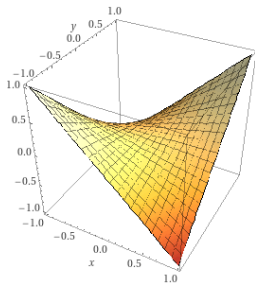
- Každý **reálný skalární součin** na prostoru V je bilineární formou.
- Komplexní už **ne!** (Není linearita ve 2. složce.)

Příklady bilineárních forem

- Každý **reálný skalární součin** na prostoru V je bilineární formou.
- Komplexní už **ne!** (Není linearita ve 2. složce.)
- Zobrazení $b: \mathbb{R}^n \times \mathbb{R}^n \rightarrow \mathbb{R}$ dané předpisem $b(\mathbf{x}, \mathbf{y}) = \mathbf{x}^\top \mathbf{A} \mathbf{y}$ pro $\mathbf{A} \in \mathbb{R}^{n \times n}$ je bilineární formou.

Příklady bilineárních forem

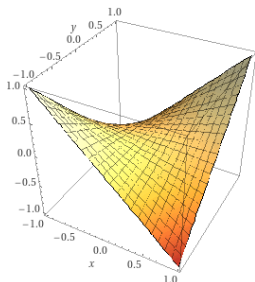
- Každý **reálný skalární součin** na prostoru V je bilineární formou.
- Komplexní už **ne!** (Není linearita ve 2. složce.)
- Zobrazení $b: \mathbb{R}^n \times \mathbb{R}^n \rightarrow \mathbb{R}$ dané předpisem $b(x, y) = x^\top A y$ pro $A \in \mathbb{R}^{n \times n}$ je bilineární formou. Pro $n = 1$ dostáváme $b(x, y) = ax^\top y$, kde $a \in \mathbb{R}$.



Zdroj: <https://www.wolframalpha.com/>

Příklady bilineárních forem

- Každý **reálný skalární součin** na prostoru V je bilineární formou.
- Komplexní už **ne!** (Není linearita ve 2. složce.)
- Zobrazení $b: \mathbb{R}^n \times \mathbb{R}^n \rightarrow \mathbb{R}$ dané předpisem $b(x, y) = x^\top Ay$ pro $A \in \mathbb{R}^{n \times n}$ je bilineární formou. Pro $n = 1$ dostáváme $b(x, y) = ax^\top y$, kde $a \in \mathbb{R}$.

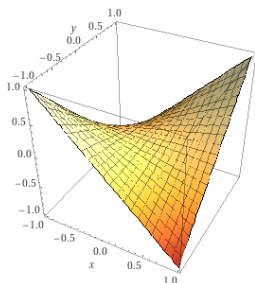


Zdroj: <https://www.wolframalpha.com/>

- Pro $V = \mathbb{R}^2$, $x^\top = (x_1, x_2)$ a $y^\top = (y_1, y_2)$ je $b(x, y) = x_1y_1 + 3x_1y_2 + 3x_2y_1 + 10x_2y_2$ symetrickou bilineární formou.

Příklady bilineárních forem

- Každý **reálný skalární součin** na prostoru V je bilineární formou.
- Komplexní už **ne!** (Není linearita ve 2. složce.)
- Zobrazení $b: \mathbb{R}^n \times \mathbb{R}^n \rightarrow \mathbb{R}$ dané předpisem $b(x, y) = x^\top Ay$ pro $A \in \mathbb{R}^{n \times n}$ je bilineární formou. Pro $n = 1$ dostáváme $b(x, y) = ax^\top y$, kde $a \in \mathbb{R}$.



Zdroj: <https://www.wolframalpha.com/>

- Pro $V = \mathbb{R}^2$, $x^\top = (x_1, x_2)$ a $y^\top = (y_1, y_2)$ je $b(x, y) = x_1y_1 + 3x_1y_2 + 3x_2y_1 + 10x_2y_2$ symetrickou bilineární formou.
- Pro $V = \mathbb{Z}_5^2$ je $b(x, y) = x_1y_1 + 2x_1y_2 + 4x_2y_1 + 3x_2y_2$ bilineární formou.

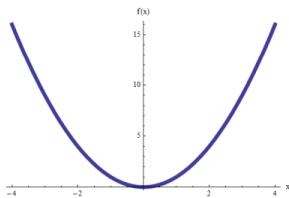
Příklady kvadratických forem

Příklady kvadratických forem

- Zobrazení $f: \mathbb{R}^n \rightarrow \mathbb{R}$ dané předpisem $f(\mathbf{x}) = \mathbf{x}^\top A \mathbf{x}$ pro symetrickou $A \in \mathbb{R}^{n \times n}$ je kvadratickou formou.

Příklady kvadratických forem

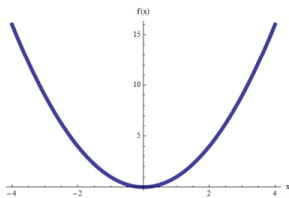
- Zobrazení $f: \mathbb{R}^n \rightarrow \mathbb{R}$ dané předpisem $f(x) = x^\top Ax$ pro symetrickou $A \in \mathbb{R}^{n \times n}$ je kvadratickou formou. Pro $n = 1$ dostáváme $f(x) = ax^2$ (**parabola**), kde $a \in \mathbb{R}$.



Zdroj: <https://mathcracker.com/>

Příklady kvadratických forem

- Zobrazení $f: \mathbb{R}^n \rightarrow \mathbb{R}$ dané předpisem $f(x) = x^\top Ax$ pro symetrickou $A \in \mathbb{R}^{n \times n}$ je kvadratickou formou. Pro $n = 1$ dostáváme $f(x) = ax^2$ (**parabola**), kde $a \in \mathbb{R}$.

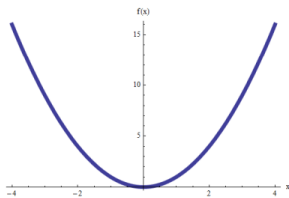


Zdroj: <https://mathcracker.com/>

- Pro $V = \mathbb{R}^2$, $x^\top = (x_1, x_2)$ a $y^\top = (y_1, y_2)$ je $f(x) = x_1^2 + 6x_1x_2 + 10x_2^2$ kvadratická forma indukovaná symetrickou bilineární formou $b(x, y) = x_1y_1 + 3x_1y_2 + 3x_2y_1 + 10x_2y_2$.

Příklady kvadratických forem

- Zobrazení $f: \mathbb{R}^n \rightarrow \mathbb{R}$ dané předpisem $f(x) = x^T Ax$ pro symetrickou $A \in \mathbb{R}^{n \times n}$ je kvadratickou formou. Pro $n = 1$ dostáváme $f(x) = ax^2$ (**parabola**), kde $a \in \mathbb{R}$.



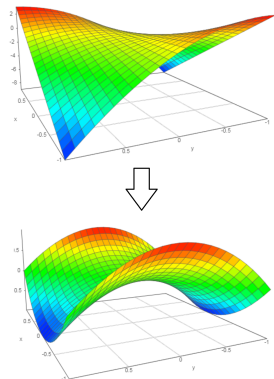
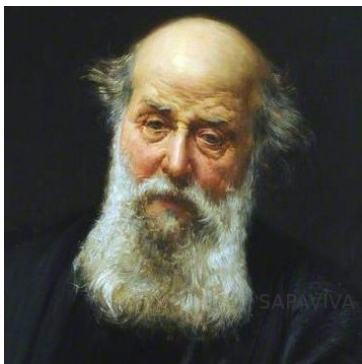
Zdroj: <https://mathcracker.com/>

- Pro $V = \mathbb{R}^2$, $x^T = (x_1, x_2)$ a $y^T = (y_1, y_2)$ je $f(x) = x_1^2 + 6x_1x_2 + 10x_2^2$ kvadratická forma indukovaná symetrickou bilineární formou $b(x, y) = x_1y_1 + 3x_1y_2 + 3x_2y_1 + 10x_2y_2$.
- Pro $V = \mathbb{Z}_2^2$, není $f(x) = x_1x_2$ kvadratickou formou, protože není indukovaná symetrickou bilineární formou.

Sylvesterův zákon setrvačnosti

Sylvesterův zákon setrvačnosti

- Buď $f(x) = x^T Ax$ kvadratická forma na \mathbb{R}^n . Pak existuje báze, vůči níž má f diagonální matici s prvky $-1, 0, 1$. Navíc, tato matice je až na pořadí prvků jednoznačná.



Obrázek: James Joseph Sylvester (1814–1897).

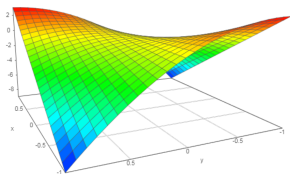
Sylvesterův zákon setrvačnosti: příklad

Sylvesterův zákon setrvačnosti: příklad

- Mějme kvadratickou formu $f: \mathbb{R}^2 \rightarrow \mathbb{R}$ danou předpisem $f(x) = 6x_1x_2 - 3x_2^2$.

Sylvesterův zákon setrvačnosti: příklad

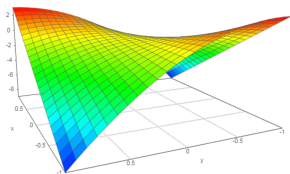
- Mějme kvadratickou formu $f: \mathbb{R}^2 \rightarrow \mathbb{R}$ danou předpisem $f(x) = 6x_1x_2 - 3x_2^2$. Tedy $A = \begin{pmatrix} 0 & 3 \\ 3 & -3 \end{pmatrix}$ je maticí f vzhledem k $B = \text{Kan.}$



Zdroj: <https://kam.mff.cuni.cz/~fiala>

Sylvesterův zákon setrvačnosti: příklad

- Mějme kvadratickou formu $f: \mathbb{R}^2 \rightarrow \mathbb{R}$ danou předpisem $f(x) = 6x_1x_2 - 3x_2^2$. Tedy $A = \begin{pmatrix} 0 & 3 \\ 3 & -3 \end{pmatrix}$ je maticí f vzhledem k $B = \text{Kan.}$

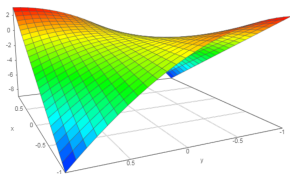


Zdroj: <https://kam.mff.cuni.cz/~fiala>

- Mějme bázi $B' = \begin{pmatrix} 2 & -1 \\ 3 & 1 \end{pmatrix}$ prostoru \mathbb{R}^2 .

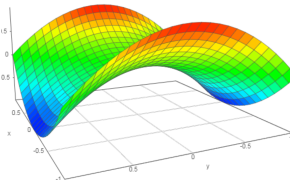
Sylvesterův zákon setrvačnosti: příklad

- Mějme kvadratickou formu $f: \mathbb{R}^2 \rightarrow \mathbb{R}$ danou předpisem $f(x) = 6x_1x_2 - 3x_2^2$. Tedy $A = \begin{pmatrix} 0 & 3 \\ 3 & -3 \end{pmatrix}$ je maticí f vzhledem k $B = \text{Kan.}$



Zdroj: <https://kam.mff.cuni.cz/~fiala>

- Mějme bázi $B' = \begin{pmatrix} \frac{2}{3} & -\frac{1}{3} \\ \frac{1}{3} & \frac{1}{3} \end{pmatrix}$ prostoru \mathbb{R}^2 . Potom $S = {}_B[id]_{B'} = B'$ a matice f vůči B' je $S^T A S = \begin{pmatrix} \frac{2}{3} & \frac{1}{3} \\ -\frac{1}{3} & \frac{1}{3} \end{pmatrix} \cdot \begin{pmatrix} 0 & 3 \\ 3 & -3 \end{pmatrix} \cdot \begin{pmatrix} \frac{2}{3} & -\frac{1}{3} \\ \frac{1}{3} & \frac{1}{3} \end{pmatrix} = \begin{pmatrix} 1 & 0 \\ 0 & -1 \end{pmatrix}$.



Zdroj: <https://kam.mff.cuni.cz/~fiala>

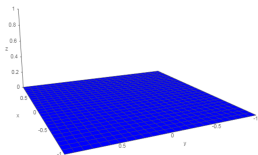
Kvadratické formy v \mathbb{R}^2

Kvadratické formy v \mathbb{R}^2

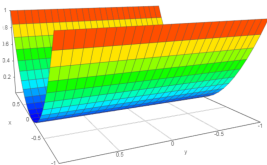
- Podle **Sylvestrova zákona** mají kvadratické formy v \mathbb{R}^2 v podstatě jeden z následujících tvarů v souřadném systému vhodné báze.

Kvadratické formy v \mathbb{R}^2

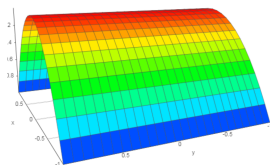
- Podle **Sylvestrova zákona** mají kvadratické formy v \mathbb{R}^2 v podstatě jeden z následujících tvarů v souřadném systému vhodné báze.



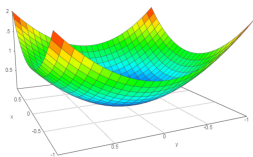
(a) 0



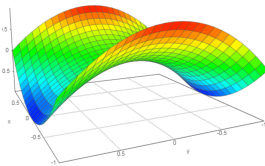
(b) x_1^2



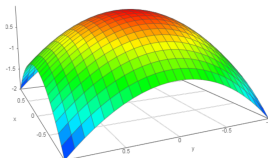
(c) $-x_1^2$



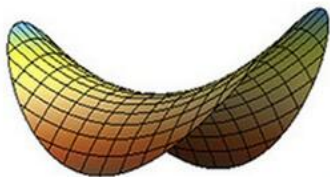
(d) $x_1^2 + x_2^2$



(e) $x_1^2 - x_2^2$



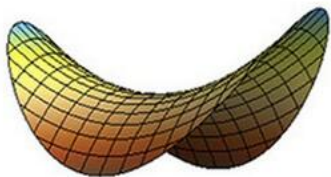
(f) $-x_1^2 - x_2^2$



$$z = \frac{x^2}{a^2} - \frac{y^2}{b^2}, \quad \frac{x^2}{a^2} + \frac{y^2}{b^2} < 1$$



Zdroj: <https://twitter.com/pickover>

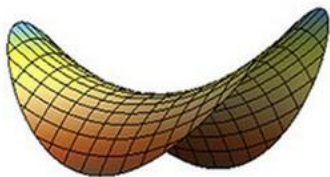


$$z = \frac{x^2}{a^2} - \frac{y^2}{b^2}, \quad \frac{x^2}{a^2} + \frac{y^2}{b^2} < 1$$



Zdroj: <https://twitter.com/pickover>

- Brambůrky **Pringles** mají tvar **hyperbolického paraboloidu**, aby se na sebe daly snadno skládat a snadno se nezlomily.

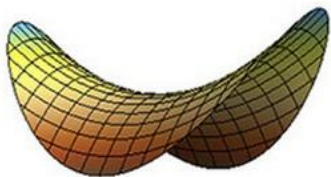


$$z = \frac{x^2}{a^2} - \frac{y^2}{b^2}, \quad \frac{x^2}{a^2} + \frac{y^2}{b^2} < 1$$



Zdroj: <https://twitter.com/pickover>

- Brambůrky **Pringles** mají tvar **hyperbolického paraboloidu**, aby se na sebe daly snadno skládat a snadno se nezlomily. Projektanti těchto brambůrek údajně použili superpočítače.



$$z = \frac{x^2}{a^2} - \frac{y^2}{b^2}, \quad \frac{x^2}{a^2} + \frac{y^2}{b^2} < 1$$



Zdroj: <https://twitter.com/pickover>

- Brambůrky **Pringles** mají tvar **hyperbolického paraboloidu**, aby se na sebe daly snadno skládat a snadno se nezlomily. Projektanti těchto brambůrek údajně použili superpočítače.

Děkuji za pozornost.